

تحضير ماصات رادارية لفيراييت نوع $BaCo_xTi_xFe_{12-2x}O_{19}$ ضمن نطاق- X

د.أحمد رفيق عبد المجيد

الخلاصة

أن قلة انعدام المواد المناسبة التي تمتلك قيم نفاذية نسبية (μ_r) أكبر من واحد عند الترددات المايكروية أكبر من (1GHZ) أدى الى استخدام المواد الفيراييتية سداسية التركيب نوع $M -$ حيث تمتلك قيم μ_r (~5) على مدى ترددية ضيقة حيث تم تحضير فرايت نوع باريوم فرايت ($Ba Co_x Ti_x Fe_{12-2x} O_{19}$) وقيم (0.9, 0.75, 0.5, 0.25) بطريقة تكنولوجيا المساحيق ودراسة خصائصها المغناطيسية والكهربائية وزاوية الفقد ومعامل الفقد ضمن ترددات النطاق $X - (8-12.5$ GHz) كماص أحادي الطبقة ومتعددة الطبقات وكمتراب راتنجي مكون من ابيوكسي وحشوة فرايتية وبأسماك رقيقة تصل الى 1mm للطبقة الواحدة وبأربع طبقات تصل الى 2.5 mm .

وأظهرت النتائج قيم الذروة لمعامل التوهين تصل الى (-32.2dB) ضمن النطاق الترددي 10.2 GHz لقيم $x=0.25$ -) (32.25dB) ضمن النطاق الترددي (8.2GHz) لقيم $x=0.5$ وان لقيم $x=0.7$ هناك (-32.25dB) ضمن النطاق (8.8 GHz) و(-26.4dB) ضمن النطاق (11.2GHz) و (-21.66dB) ضمن النطاق (11.6GHz) .

ولقيم $x=0.9$ هناك تغطية كبيرة ضمن الترددات 8.2 GHz و 9GHz و 11.2 GHz و 11.6GHz وهكذا تصميم ماص متعدد الطبقات يمكن ان تغطي مدى واسع من ترددات النطاق ونعرض نطاق واسع كبير مما يؤكد ان هذا النوع من الفيراييت اكثر أهمية من النوع ذو التركيب الرباعي .

الكلمات المفتاحية: ماصات رادارية لفيراييتية . باريوم فرايت.

المقدمة

هناك عدة تطبيقات للماصات الرادارية الكهرومغناطيسية المصنعة من مادة الفيراييت منها على سبيل المثال تجنب الموجات الكهرومغناطيسية الغير مرغوب فيها والتي تتولد داخليا في الاجهزة منع الضجيج الكهرومغناطيسي (noise) وكذلك تحسين اداء الهوائيات وبناء الغرف اللاصوتية (anechoic chamber) وتطبيقات عسكرية اخرى [1-3]

ولاجل اخماد الانعكاسات من هيكل الماصات الكهرومغناطيسية يستخدم تركيب متعدد الطبقات من مواد مختلفة [4-6] بدلا من التركيب احادية الطبقات وعمليا يفضل استخدام ايسر تركيب ماص بأخف وزن واقل سمك مثل مزيج اسود الكابون مع راتنج و فيرايت حيث تمتلك الماصات الفيراييتية عرض نطاق ترددي أوسع مقارنة بالماصات العازلة الاخرى عند

تحضير ماصات رادارية لغيرايت نوع $BaCo_xTi_xFe_{12-2x}O_{19}$ ضمن نطاق- X

د.أحمد رفيع عبد المجيد

الترددات العالية [8,7]. ان المواد الماصة للموجات الرادارية (RAM) تصمم على اساس جعل سمكها برقع الطول الموجي داخل الدليل الموجي لتردد التشغيل وهذا المفهوم قريب للماصات التي تعمل بالفقد الاومي الا ان وجود الخسائر المغناطيسية في الماصات الرادارية الحديثة بدل هذا المفهوم [10,9]. اذ ان المفاهيم المغناطيسية سوف تزيد من السمك بحيث يصبح اكبر من ربع الطول الموجي , علاوة على دوره في زيادة عرض النطاق وللاستفادة من هذه المعلومات تم فرض ان المجالات الكهرومغناطيسية تعتمد على الزمن وان القيم $(\mu_r, \epsilon_r, \omega)$ هي اعداد معقدة لاتعتمد على الموقع واتجاه المجال داخل الوسط الماص .

وجميع الخسائر القليلة الناشئة من أليات التوصيل تكون متضمنة الاجزاء الخيالية من ثابت العزل (ϵ_r) والنفاذية لنسبية (μ_r) واعتماد هذه القيم على الزمن ستجبر الاجزاء الخيالية ان تكون موجية تمثل القيم المركبة للنفاذية النسبية وكذلك السماحية الكهربائية حيث ان الحد الاول يمثل الجزء الحقيقي للمركب والحد الثاني يمثل الجزء الخيالي . وبذلك فان معامل الانكسار

$$(\mu_r \epsilon_r)^{1/2} n =$$

$$Z_r = (\mu_r / \epsilon_r)^{1/2}$$

والممانعة الذاتية للمادة هي

زاوية الفقد المغناطيسي والكهربائية $\delta_\mu, \delta_\epsilon$

$$\delta_\mu = \frac{\mu''}{\mu'} \delta_\epsilon = \frac{\epsilon''}{\epsilon'}$$

حيث $\epsilon = \epsilon' + i\epsilon''$ $\mu = \mu' + i\mu''$ والعدد الموجي المركب $K = K_0 n$, $K_0 = 2\pi / \lambda$ ومعامل التوهين (dB) هو: $\Gamma = 20 \log_{10}|R|$

حيث ان معامل الانعكاس هو :-

$$R = \{Z_r \tan(-iKd) - 1\} / \{Z_r \tan(-iKd) + 1\}$$

R تمثل معامل الانعكاس الفولتيه و d تمثل السمك الفيزيائي للوح الماص . لذا الماصات الرادارية ذات الطبقة الواحدة تعمل عند نطاق ترددي ضيق على العكس من متعدد الطبقات حيث تعمل عند نطاق ترددي اوسع بكثير .

والشكل (1) يمثل ماص متعدد الطبقات تتكون من عدد من الطبقات N متجانسة حيث يلاحظ موجه كهرومغناطيسية مستعرضة تنتقل باتجاه المحور- Z ومجالها الكهربائي موازي للمحور X والمغناطيسي للمحور Y فتسقط باتجاه عمودي على سطح الماص وتسير بكلا الاتجاهي السالب والموجب للمحور Z - [3]. وتكون مركبات المجال الكهربائي E_x

والمغناطيسي H_y ثابتة فيالمستوى (x,y) وتحقق معادلة هلمهولتز $[\nabla^2 + K^2]\Psi = 0$, Ψ تمثل داله المجال. والمركبات (f) μ_j و (f) ϵ_j و k دوال للتردد وبأهمال التغير الزمني $\exp(i\omega t)$ يمكن كتابة المجالات الكهربائية في مناطق مختلفة بالصيغة الآتية : [3]

$$E_{x0} = \alpha_0 e^{-iK_0 Z} + b_0 e^{iK_0 Z}, \quad \alpha_0 = 1, \quad j=0$$

$$E_{xj} = \alpha_j e^{-iK_j Z} + b_j e^{iK_j Z}$$

حيث ان α_j تمثل سعة الموجة الساقطة والموجة المنعكسة تمثل بالرمز b_j و b_0 سعة الموجة الساقطة في الفضاء والمجالات المغناطيسية يمكن الحصول عليها باستخام معادلات ماكسويل :-

$$\nabla \times E = -i\omega \mu H$$

$$H_{y0} = k_0 / \omega \mu_0 (a_0 e^{-iK_0 Z} - b_0 e^{iK_0 Z}), \quad i=0$$

$$H_{yj} = k_j / \omega \mu_j (a_j e^{-iK_j Z} - b_j e^{iK_j Z}), \quad i=1,2,\dots,N$$

وبأستخدام الشروط الحدودية عند السطوح البينية بين الطبقات المتجاورة وعند السطح الموصل ($Z=L_n$) ويمكن الحصول على

$$b_0 = 1 - Q_1 - T_1(1+Q_1) / (1 - Q_1 + T_1(1+Q_1))$$

$$T_j = (\epsilon_j / \mu_j)^{1/2} / (\epsilon_{j-1} \mu_{j-1})^{1/2}, \quad i=1,2,\dots$$

ويمكن ايجاد Q من خلال المعادلات التالية :-

$$L_j = \sum_{m=1}^j Q_m, \quad Q_n = e^{-i2K_n L_n}$$

$$R = |b_0|, \quad 20 \log_{10} |R| = \Gamma \text{ معامل التوهين: حيث ان } \Gamma$$

الجزء العملي

تم تحضير باريوم فرايت نوع $BaCo_xTi_xFe_{12-2x}O_{19}$ وبقيم $x=0.25, x=0.5, x=0.75, x=0.9$ بطريقة تكنولوجيا المساحيق حيث تم اختيار المواد الأولية نوع اكاسيد المواد وذات نقاوة عالية جدا وطحنها ومزجها وكلسنتها بدرجة $1100^\circ C$ وأخذ فحص حيود الاشعة السينية لها وتليدها بدرجة $1350^\circ C$ لمدة 12 ساعة في فرن مبرمج وباشكال أسطوانية

بقطر 3cm وسمك مختلف 1,2,3, mm واشكال مناسبة للفحص بالدليل الموجي لقياس معامل الفقد Reflection Loss ومن نتائج الدليل الموجي يمكن قياس (μ_r, ϵ_r) ومنها $\tan \delta$ μ_r ϵ_r ومن خلال برنامج Math lab يتم تصميم ماصات رادارية احادية ومتعددة الطبقات وذلك بأعتبار الفراييت المحضر حشوة لمتراكب راتنج نوع ايبوكسي Composite وبنسب وزنية مختلفة والشكل (2) يوضح منظومة قياس الدليل الموجي .

النتائج والمناقشة

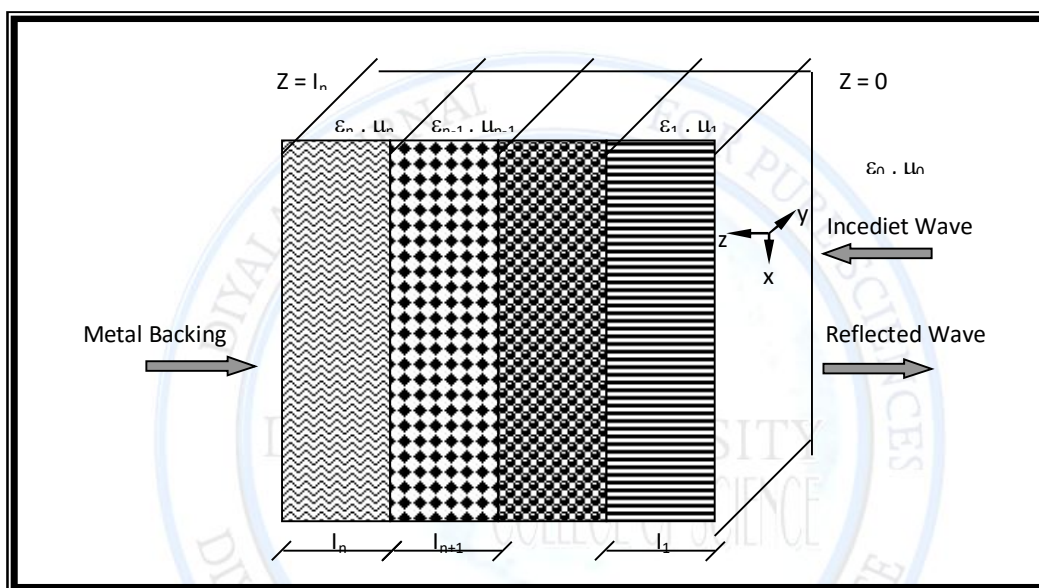
الفراييت هي مواد سيراميكية لها تردد رنيني في مجال الترددات المايكروية تصل الى 48GHZ ولغرض تقليل قيم هذا التردد الى نطاقات اقل مثل النطاق X- (8-12 GHZ) نستبدل بعض ايونات الحديد Fe^{+3} بايونات اخرى مثل Ti, Co واحيانا Mn او Ni وفي بحثنا الحالي تم استخدام Ti , Co وبنسب وزنية مختلفة ومن الواضح ان النسبة $x=0.7$ و $x=0.9$ كانت من اكثر النسب ملائمة حيث غطت معظم الترددات (النطاق X-) وعاملالتوهين فيه اكبر من (-20 dB) وتصل الى (-32dB) مقابل عامل التوهين عالي تصل الى

(-32dB) عند الترددات في بداية النطاق X - عند 8GHZ عندما النسبة $x=0.25$ اي ان عمل اربع طبقات من النسب اعلاه ستغطي تقريبا كامل الترددات المطلوبة كما لوحظ ان السمك المطلوب قليل نسبيا لبقية الانواع من الفراييت مثل NiZn فراييت حيث السمك يصل لاقل من 1mm تقريبا للطبقة مما يؤكد ان استخدام باريوم فراييت ذات تركيب السداسي هو اكثر ملائمة من بقية الانواع الاخرى في الترددات المايكروية العالية والشكل البياني (3) وكذلك الجداول توضح بشكل تام ما ذكر سابقا .

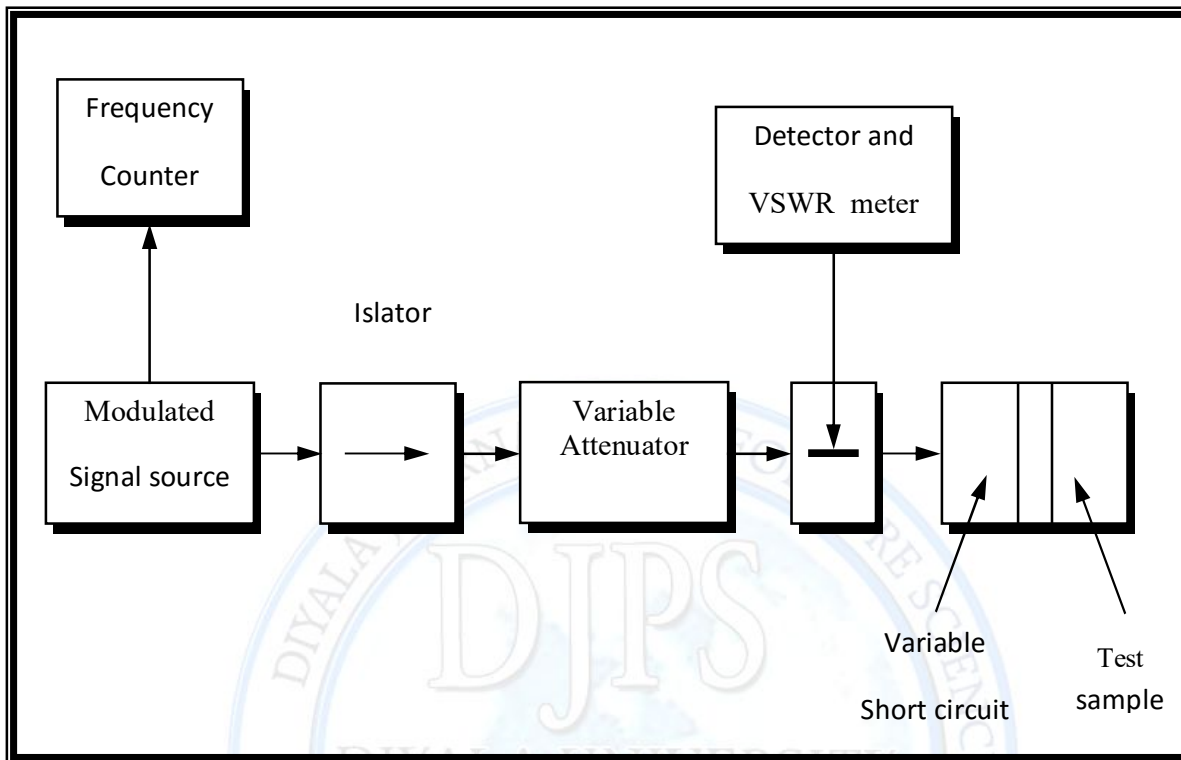
References

1. (IVSL) Mitsu uhiro Amando , Youji kotsoko ((A method of effective use of ferrite for microwave absorber)) IEEE Vol.51 No 1 P 238 – 245 2003
2. Y . Noite ,J Yin , Electronic and Communication in Japan 2. Vol 71 , No 7 , 1988.
3. K.J vinoy& R.M Jha ,, radar absorbing material ,,National aerospace laboratoriesIndia 1966
4. Y KaKi , N Yoshid IEEE Trans .ELECTROMAG .compact . vol 31. no3.p323 1989.
5. H.M . alsul r " handbook of microwave measurement "fox ,ch 9,1979.
6. H.F harmuth IEEE trans Electromag. compact ,vol 29, no 2,p112, 1986.
7. harmuth IEEE trans Electromag. compact ,vol 27, no 2,p100, 1985.

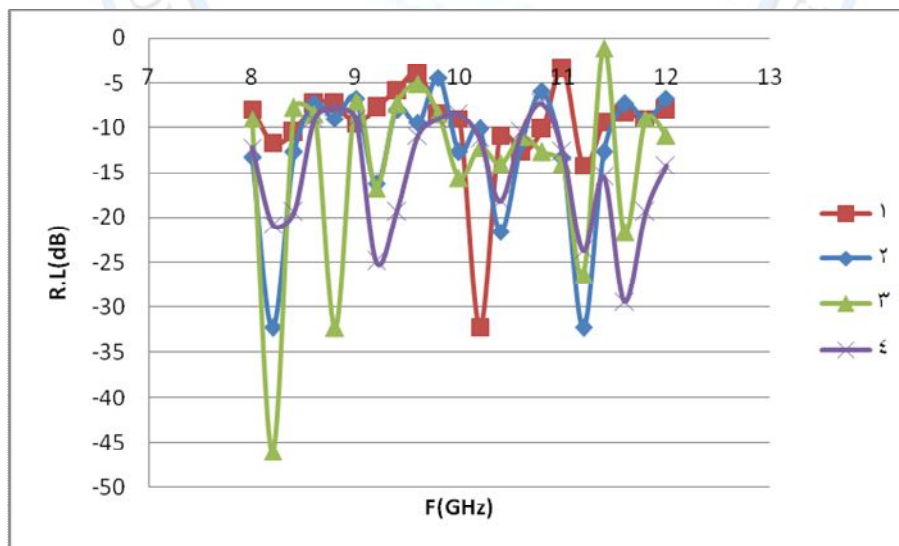
8. xpreparation and study of various RAMs in X-band))Aphp this is ,college of science university of Baghdad 2005
9. صباح محمد على "دراسة وتصميم مواد فيرارية لامتصاص الموجات الدقيقة في نطاق الحزمة -السينية" اطروحة دكتوراه الجامعة التكنولوجية قسم علوم تطبيقية 2000 .
10. دريد فوزي مهدي "المواد الصلبة للموجات الدقيقة" اطروحة ماجستير قسم علوم تطبيقية- الجامعة- التكنولوجية 2002.



شكل (1) يمثل منظومة ماصة للموجات الرادارية متعددة الطبقات



شكل (2) منظومة الدليل الموجي المستخدمة في قياس الخواص المغناطيسية للفيراييت



شكل (3) التغير في قيم التردد مع معامل التوهين لجميع النماذج المترابطة

تحضير ماصات رادارية لفيراييت نوع $BaCo_xTi_xFe_{12-2x}O_{19}$ ضمن نطاق- X

د.أحمد رفيق عبد المجيد

جدول (1) يوضح الخصائص الكهربائية والمغناطيسية للنموذج الاول

| F (GHz) | μ'_r | μ''_r | ϵ'_r | ϵ''_r | σ ($\Omega.cm$)-1 | $\tan \delta \mu$ | $\tan \delta \epsilon$ | R.L (- dB) |
|---------|----------|-----------|---------------|----------------|----------------------------|-------------------|------------------------|------------|
| 8 | 0.63 | 0.86 | 0.52 | 1.2 | 0.5335 | 1.3561 | 2.3077 | -7.9 |
| 8.2 | 0.5 | 1.8 | 0.18 | 0.96 | 0.4375 | 0.878 | 5.3333 | -11.7 |
| 8.4 | 1.51 | 2.67 | 0.53 | 2.53 | 1.1811 | 1.7682 | 4.7736 | -10.5 |
| 8.6 | 0.2 | 1.62 | 1.54 | 0.64 | 0.3059 | 8.1 | 0.4156 | -7.35 |
| 8.8 | 1.6 | 1.25 | 0.92 | 2.3 | 0.1249 | 0.7813 | 2.5 | -7.35 |
| 9 | 0.4 | 0.5 | 0.3 | 1.04 | 0.5202 | 1.25 | 3.4667 | -9.54 |
| 9.2 | 0.63 | 0.72 | 0.52 | 0.5 | 0.2557 | 1.1429 | 0.9615 | -7.7 |
| 9.4 | 0.8 | 0.5 | 0.17 | 0.02 | 0.0104 | 0.625 | 0.1176 | -5.8 |
| 9.6 | 0.42 | 0.44 | 0.7 | 0.04 | 0.0213 | 1.0476 | 0.0571 | -3.9 |
| 9.8 | 0.1 | 0.22 | 0.23 | 1.03 | 0.561 | 2.2 | 4.4783 | -8.5 |
| 10 | 1.27 | 1.01 | 0.06 | 1.34 | 0.7447 | 0.7953 | 22.333 | -9 |
| 10.2 | 0.78 | 1.51 | 0.34 | 1.12 | 0.6349 | 1.9359 | 3.2941 | -32.2 |
| 10.4 | 0.86 | 0.76 | 0.2 | 0.84 | 0.4855 | 0.8837 | 4.2 | -10.9 |
| 10.6 | 0.74 | 0.6 | 0.13 | 0.4 | 0.2357 | 0.8108 | 3.0769 | -12.7 |
| 10.8 | 0.3 | 0.18 | 0.73 | 0.18 | 0.108 | 0.6 | 0.2466 | -10.16 |
| 11 | 0.14 | 0.24 | 0.01 | 0.53 | 0.324 | 1.7143 | 53 | -3.45 |
| 11.2 | 0.1 | 1.1 | 1.08 | 0.02 | 0.0124 | 11 | 0.01385 | -14.2 |
| 11.4 | 0.19 | 0.62 | 1.14 | 0.23 | 0.1457 | 3.2632 | 0.2018 | -9.5 |
| 11.6 | 0.3 | 0.42 | 0.008 | 1.5 | 0.9671 | 1.4 | 187.5 | -8.3 |
| 11.8 | 1.92 | 2.6 | 1.73 | 2 | 1.3116 | 1.3542 | 1.1561 | -9 |
| 12 | 0.5 | 0.23 | 0.21 | 0.2 | 0.1334 | 0.46 | 0.9524 | -8 |

جدول (2) يوضح الخصائص الكهربائية والمغناطيسية للنموذج الثاني

| F (GHz) | μ'_r | μ''_r | ϵ'_r | ϵ''_r | σ ($\Omega.cm$)-1 | $\tan \delta \mu$ | $\tan \delta \epsilon$ | R.L (- dB) |
|---------|----------|-----------|---------------|----------------|----------------------------|-------------------|------------------------|------------|
| 8 | 1.3 | 4.2 | 0.06 | 2.06 | 0.91593 | 3.23077 | 34.333 | -13.3 |
| 8.2 | 0.44 | 1.41 | 0.23 | 0.8 | 0.36459 | 3.20455 | 3.47826 | -32.3 |
| 8.4 | 0.5 | 2.24 | 1.75 | 0.34 | 0.15873 | 4.48 | 0.19429 | -12.7 |
| 8.6 | 0.24 | 1.15 | 1.39 | 0.05 | 0.0239 | 4.79167 | 0.3597 | -7.3 |
| 8.8 | 0.13 | 0.44 | 0.1 | 2.24 | 1.09555 | 3.38462 | 22.4 | -9 |
| 9 | 0.2 | 0.98 | 0.41 | 0.63 | 0.31513 | 4.9 | 1.53659 | -6.7 |
| 9.2 | 0.01 | 2.37 | 0.6 | 0.7 | 0.35792 | 237 | 1.16667 | -16.3 |
| 9.4 | 1.25 | 5.51 | 1.43 | 0.42 | 0.21942 | 2.008 | 0.29371 | -8 |
| 9.6 | 1.35 | 1.38 | 0.7 | 0.5 | 0.26677 | 1.76296 | 0.71429 | -9.5 |
| 9.8 | 0.5 | 0.6 | 0.09 | 0.51 | 0.27778 | 1.2 | 5.66667 | -4.43 |
| 10 | 1 | 1.85 | 0.3 | 1.4 | 0.77809 | 1.85 | 4.66667 | -12.7 |
| 10.2 | 1 | 1.35 | 0.2 | 1.11 | 0.62925 | 1.35 | 5.55 | -10.16 |

تحضير ماصات رادارية لغيرايت نوع $BaCo_xTi_xFe_{12-2x}O_{19}$ ضمن نطاق- X

د.أحمد رفيق عبد المجيد

| | | | | | | | | |
|------|------|------|------|------|---------|----------|---------|---------|
| 10.4 | 0.33 | 3.26 | 0.22 | 1 | 0.57801 | 9.87879 | 4.54545 | - 21.6 |
| 10.6 | 0.6 | 4.17 | 1 | 0.6 | 0.35348 | 6.95 | 0.6 | - 11.7 |
| 10.8 | 1.23 | 0.74 | 0.03 | 0.68 | 0.40816 | 0.060163 | 22.6667 | - 6 |
| 11 | 1.48 | 1 | 0.34 | 1 | 0.61136 | 0.677568 | 2.94118 | - 8.5 |
| 11.2 | 1 | 1.38 | 0.4 | 1.24 | 0.77187 | 1.38 | 3.1 | - 12.7 |
| 11.4 | 0.32 | 2.24 | 0.32 | 0.5 | 0.31679 | 7 | 1.5625 | - 10.16 |
| 11.6 | 1.38 | 2.78 | 0.63 | 1.73 | 0.11534 | 2.01449 | 2.74603 | - 22 |
| 11.8 | 0.56 | 2.06 | 1.12 | 0.1 | 0.06558 | 3.67857 | 0.08929 | - 12 |
| 12 | 0.23 | 1.98 | 0.7 | 0.16 | 0.10671 | 8.6087 | 0.22857 | - 8 |

جدول (3) يوضح الخصائص الكهربائية والمغناطيسية للنموذج الثالث

| F (GHz) | μ'_r | μ''_r | ϵ'_r | ϵ''_r | $\sigma (\Omega.cm)^{-1}$ | $\tan \delta \mu$ | $\tan \delta \epsilon$ | R.L (- dB) |
|---------|----------|-----------|---------------|----------------|---------------------------|-------------------|------------------------|------------|
| 8 | 1.4 | 1.23 | 0.5 | 0.85 | 0.37793 | 1.13821 | 1.7 | - 9 |
| 8.2 | 1.55 | 3.28 | 0.4 | 0.01 | 0.00456 | 0.47256 | 0.023 | - 46 |
| 8.4 | 0.35 | 1.26 | 1.83 | 0.19 | 0.0887 | 0.27778 | 0.10383 | - 7.7 |
| 8.6 | 0.16 | 1.3 | 1.26 | 0.25 | 0.11949 | 0.12308 | 0.19841 | - 8.5 |
| 8.8 | 2.69 | 0.87 | 0.53 | 0.85 | 0.41572 | 3.09195 | 1.60377 | - 32.25 |
| 9 | 0.8 | 0.9 | 0.36 | 0.76 | 0.38015 | 0.88889 | 2.11111 | - 7 |
| 9.2 | 0.01 | 2.61 | 1 | 0.1 | 0.05113 | 0.00383 | 0.1 | - 16.75 |
| 9.4 | 0.6 | 1.1 | 0.81 | 0.24 | 0.12538 | 0.54545 | 0.2963 | - 7.35 |
| 9.6 | 0.5 | 0.7 | 0.8 | 0.05 | 0.02668 | 0.71429 | 0.0625 | - 5.1 |
| 9.8 | 1.4 | 0.91 | 0.5 | 1.17 | 0.63726 | 1.53846 | 2.34 | - 8.5 |
| 10 | 1 | 2.06 | 0.56 | 0.06 | 0.03335 | 0.48544 | 0.1074 | - 15.6 |
| 10.2 | 1.13 | 1.69 | 0.16 | 0.9 | 0.51021 | 0.66864 | 5.625 | - 12.2 |
| 10.4 | 0.21 | 0.85 | 0.23 | 0.4 | 0.2312 | 0.24706 | 1.73913 | - 14 |
| 10.6 | 2.05 | 1.83 | 0.5 | 0.6 | 0.35384 | 1.12022 | 1.2 | - 11 |
| 10.8 | 1 | 4.7 | 0.2 | 1.03 | 0.61825 | 0.21277 | 5.15 | - 12.7 |
| 11 | 1.17 | 1.84 | 0.22 | 1.83 | 1.11879 | 0.63587 | 8.31818 | - 14 |
| 11.2 | 0.15 | 3.62 | 0.42 | 0.74 | 0.46063 | 0.04144 | 1.7619 | - 26.4 |
| 11.4 | 1 | 1 | 1 | 0.8 | 0.50687 | 1 | 0.8 | - 1.1 |
| 11.6 | 0.4 | 2.45 | 0.5 | 0.8 | 0.51576 | 0.16327 | 1.6 | - 21.66 |
| 11.8 | 1 | 0.72 | 0.7 | 0.17 | 0.11149 | 1.38889 | 0.24286 | - 9 |
| 12 | 0.33 | 1.83 | 0.7 | 0.17 | 0.11338 | 0.18033 | 0.24286 | - 10.9 |

تحضير ماصات رادارية لفيراييت نوع $BaCo_xTi_xFe_{12-2x}O_{19}$ ضمن نطاق -X

د.أحمد رفيق عبد المجيد

جدول (4) يوضح الخصائص الكهربائية والمغناطيسية للنموذج الرابع

| F (GHz) | μ'_r | μ''_r | ϵ'_r | ϵ''_r | σ ($\Omega.cm$)-1 | $\tan \delta \mu$ | $\tan \delta \epsilon$ | R.L (- dB) |
|---------|----------|-----------|---------------|----------------|----------------------------|-------------------|------------------------|------------|
| 8 | 0.7 | 0.83 | 0.3 | 1.58 | 0.70251 | 1.18571 | 5.26667 | -12.2 |
| 8.2 | 4.1 | 4.63 | 0.64 | 0.84 | 0.38282 | 1.12927 | 1.3125 | -20.8 |
| 8.4 | 2.17 | 2.17 | 0.5 | 1.66 | 0.77498 | 1 | 3.32 | -19.4 |
| 8.6 | 0.6 | 1.57 | 3.37 | 0.8 | 0.38238 | 2.61667 | 0.23739 | -9 |
| 8.8 | 1.84 | 0.36 | 0.06 | 4.25 | 2.07862 | 0.19565 | 70.8333 | -7.7 |
| 9 | 0.31 | 1.84 | 0.8 | 1.15 | 0.57523 | 5.93548 | 1.4357 | -9 |
| 9.2 | 0.3 | 4 | 0.63 | 0.45 | 0.23009 | 13.3333 | 0.71429 | -24.9 |
| 9.4 | 0.006 | 3.39 | 0.66 | 0.35 | 0.18285 | 565 | 0.5303 | -19.4 |
| 9.6 | 1 | 3.3 | 1 | 0.4 | 0.21342 | 3.3 | 0.4 | -10.9 |
| 9.8 | 2.23 | 2.64 | 0.52 | 1.54 | 0.83878 | 1.18386 | 2.96154 | -9 |
| 10 | 0.14 | 1.09 | 0.15 | 1.09 | 0.6058 | 7.78571 | 7.26667 | -8.5 |
| 10.2 | 1 | 1.66 | 0.1 | 0.8 | 0.45352 | 1.66 | 8 | -11.2 |
| 10.4 | 1.15 | 4.5 | 0.18 | 1 | 0.57801 | 3.91304 | 5.55555 | -18.2 |
| 10.6 | 1.92 | 2.31 | 0.05 | 0.63 | 0.37115 | 1.20313 | 12.6 | -10.5 |
| 10.8 | 2.9 | 1.35 | 0.22 | 0.6 | 0.36015 | 0.46552 | 2.72727 | -7.3 |
| 11 | 0.6 | 5.28 | 1.18 | 0.4 | 0.24454 | 8.8 | 0.33898 | -12.7 |
| 11.2 | 0.34 | 3.55 | 0.15 | 1.84 | 0.14535 | 10.4412 | 12.2667 | -23.7 |
| 11.4 | 0.34 | 1.62 | 0.3 | 0.8 | 0.50687 | 4.76471 | 2.66667 | -15.5 |
| 11.6 | 1 | 3.25 | 0.81 | 1.5 | 0.96706 | 3.25 | 1.85185 | -29.4 |
| 11.8 | 0.6 | 2.7 | 0.85 | 0.66 | 0.43284 | 4.5 | 0.77647 | -19.4 |
| 12 | 0.7 | 2.6 | 0.8 | 0.3 | 0.20008 | 3.71429 | 0.375 | -14.26 |

جدول (5) يوضح معامل التوهين لمتراكبات بوليمر-فيراييت لمختلف النسب الحجمية

| F (GHz) | Reflection Loss (-dB) | | | |
|---------|-----------------------|------------------------|------------------------|----------------------|
| | Vf = 0.7 Vp = 0.3 | Vf = 0.75 Vp = 0.25 | Vf = 0.65 Vp = 0.35 | Vf = 0.8 Vp = 0.2 |
| 8 | -14.9 | -11.8 | -13.2 | -12.5 |
| 8.2 | -15.3 | -12.0 | -13.6 | -12.8 |
| 8.4 | -15.8 | -12.3 | -13.9 | -13.0 |
| 8.6 | -16.0 | -12.6 | -14.3 | -13.64 |
| 8.8 | -16.5 | -12.9 | -14.7 | -14.0 |
| 9 | -16.9 | -123.0 | -15.0 | -14.3 |
| 9.2 | -17.3 | -13.4 | -15.4 | -14.5 |
| 9.4 | -17.6 | -13.7 | -15.8 | -14.9 |
| 9.6 | -18.0 | -14.0 | -16.2 | -15.12 |
| 9.8 | -18.5 | -14.2 | -16.5 | -15.4 |
| 10 | -18.9 | -14.5 | -16.9 | -15.7 |
| 10.2 | -19.15 | -14.8 | -17.3 | -16.0 |

تحضير ماصات رادارية لغيرايت نوع $BaCo_xTi_xFe_{12-2x}O_{19}$ ضمن نطاق- X

د.أحمد رفيق عبد المجيد

| | | | | |
|------|---------|--------|--------|---------|
| 10.4 | - 19.5 | - 15.0 | - 17.6 | - 16.3 |
| 10.6 | - 19.9 | - 15.3 | - 18.0 | - 16.5 |
| 10.8 | - 20.2 | - 15.4 | - 18.0 | - 16.8 |
| 11 | - 20.68 | - 15.5 | - 18.4 | - 17.0 |
| 11.2 | - 20.9 | - 15.6 | - 18.8 | - 17.3 |
| 11.4 | - 21.12 | - 15.9 | - 19.4 | - 17.6 |
| 11.6 | - 21.37 | - 16.1 | - 19.8 | - 17.9 |
| 11.8 | - 21.31 | - 16.4 | - 20.1 | - 18.12 |
| 12 | - 21.37 | - 17.0 | - 20.5 | - 28.2 |



PREPARATION OF $BaCo_xTi_xFe_{12-2x}O_{19}$ Ferrite as RAM material at x-Band

Dr. Ahmed .Rafeeq

ABSTARACT

Composite RAM Material Single on Multilayer at x- Band Frequency (8-12.5 GHZ) Such as $BaCo_xTi_xFe_{12-2x}O_{19}$ Prepared in Our Work For Different Values of x (0.25 , 0.5 , 0.7 , 0.9 ,).

Reflection Loss (-dB) AND TANGENT Loss $TAN \delta_\epsilon$, $TAN \delta_\mu$ were Measured using Wave Guide System. Powder Technology used to Prepare the Above Ferrite at 1350 c° for 12 hr as Sintering Temperature to be as Filler for Composite Absorber using Epoxy Resin as Amatrix. We Found in our Work that Barium Ferrite at Microwave Frequencies and That We Can Prepare Thin Layer Absorber Less Than 1mm Think RAM Materials. We Found Also That at x=0.5 , 0.7 , 0.9 We Can Cover The Most Frequence of the x – Band With Reflection Loss Larger Than (-20db) . So We Can Prepare Four Larger With Less Than 4mm Thickness With Band Width (3.5 GHZ).

Key word : Barium Ferrite RAM .